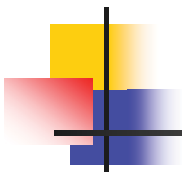


平成 21 年度 第 2 回災害リモートセンシング技術の標準化と高度化に関する研究委員会

話題提供資料

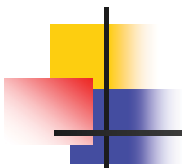
- ・「津波高データを用いた津波波源の検討」（高瀬嗣郎）
- ・「リモートセンシングの防災利用に関連した最近の取り組みについて」（三富 創）



津波高データを用いた 津波波源の検討

— 中央防災会議の津波想定 —

応用地質株式会社
高瀬 翔郎



本日の話題

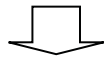
1. 中央防災会議の津波想定
2. リモセン技術の利用

1. 中防の津波想定 専門調査会

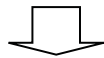
- 東海地震に関する専門調査会
(平成13年1月～平成13年12月)
- 東南海、南海地震に関する専門調査会
(平成13年10月～平成20年12月)
- 首都直下地震対策専門調査会
(平成15年9月～平成17年7月)
- 日本海溝・千島海溝周辺海溝型地震に関する専門調査会
(平成15年10月～平成18年1月)

専門調査会 調査会の流れ

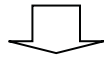
想定地震に関する検討



地震動および津波波高等の算出

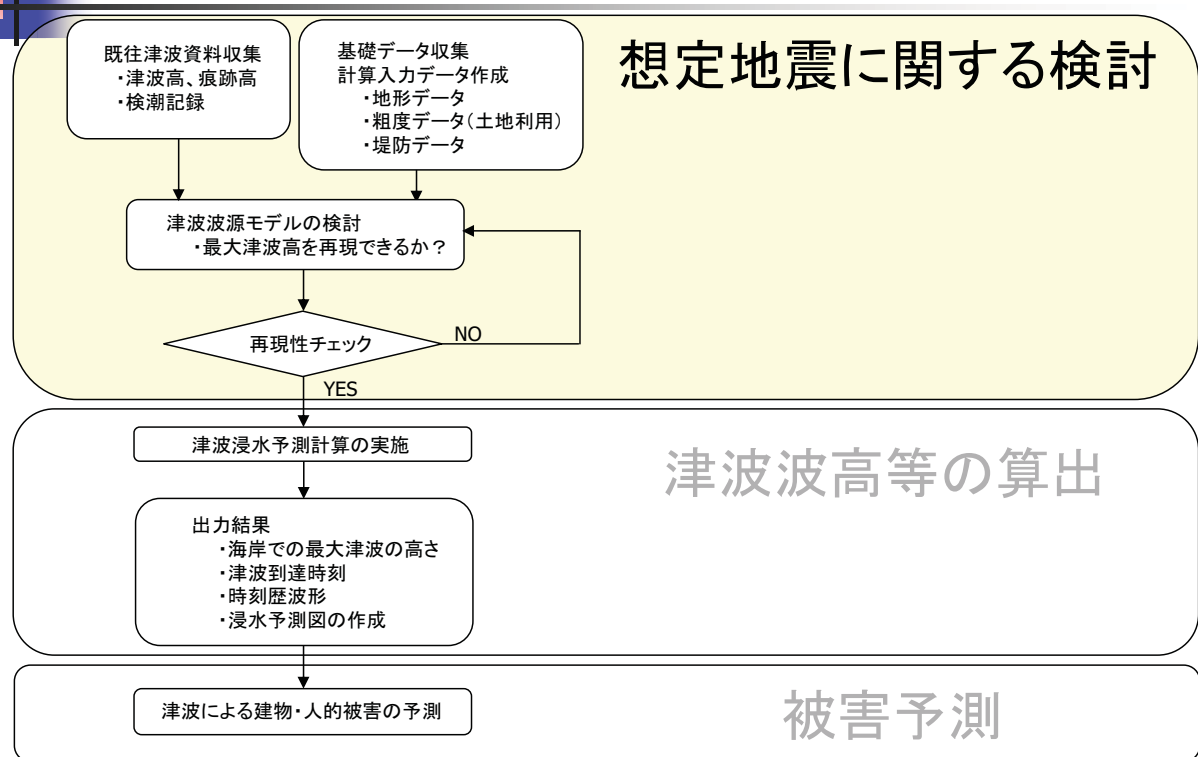


被害予測



地震対策に関する検討

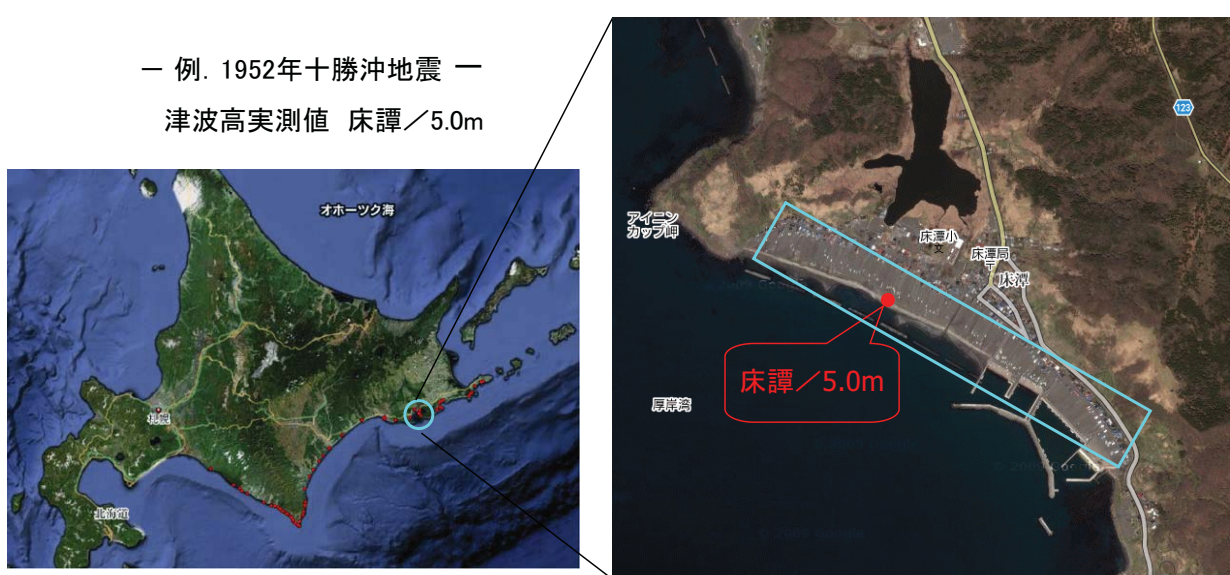
想定地震に関する検討(1)



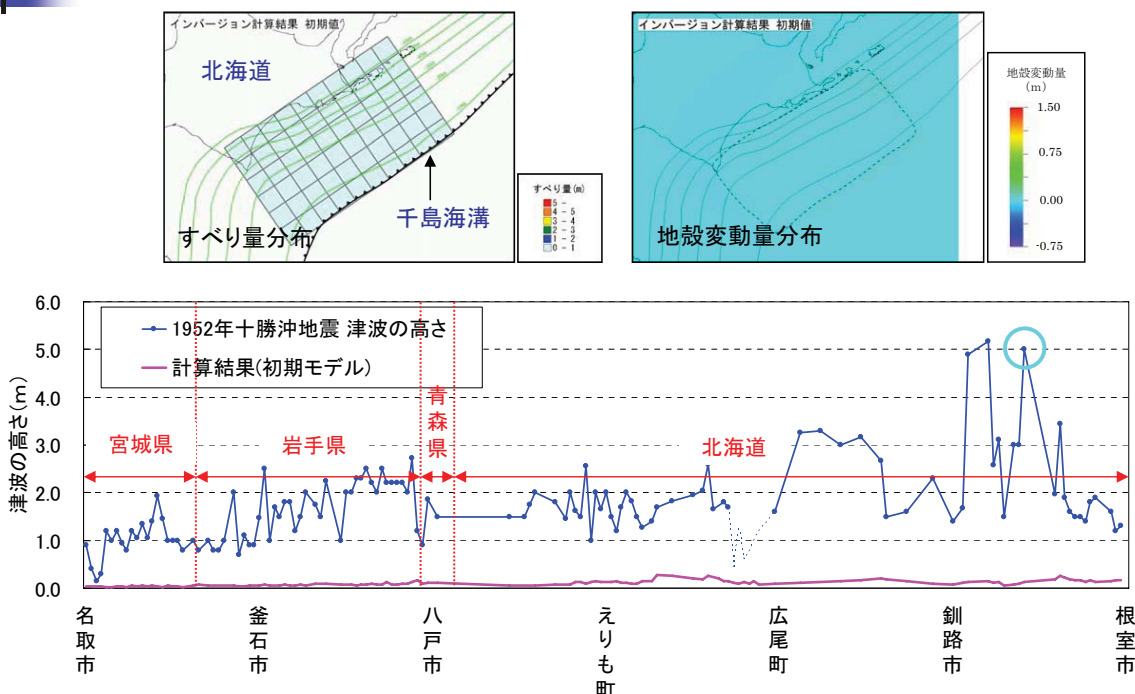
想定地震に関する検討(2)

津波高データを用いた津波波源の検討

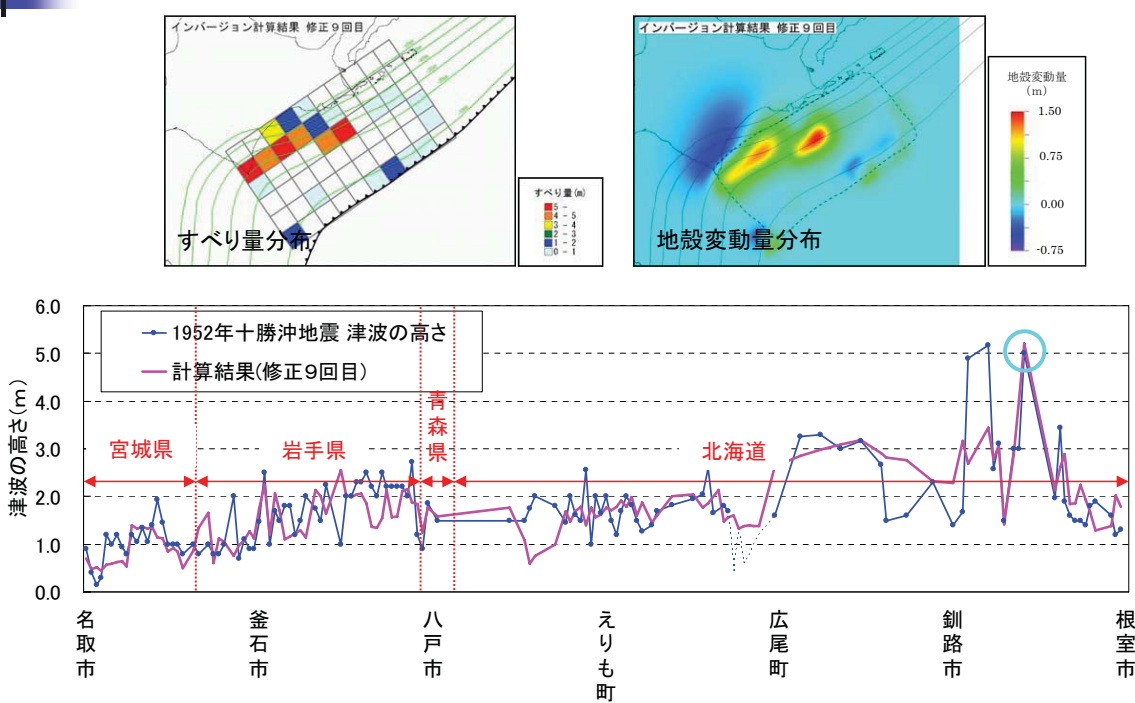
既往の最大津波高を再現するように、非線形最小二乗法を用いて各セグメントのすべり量を与える。



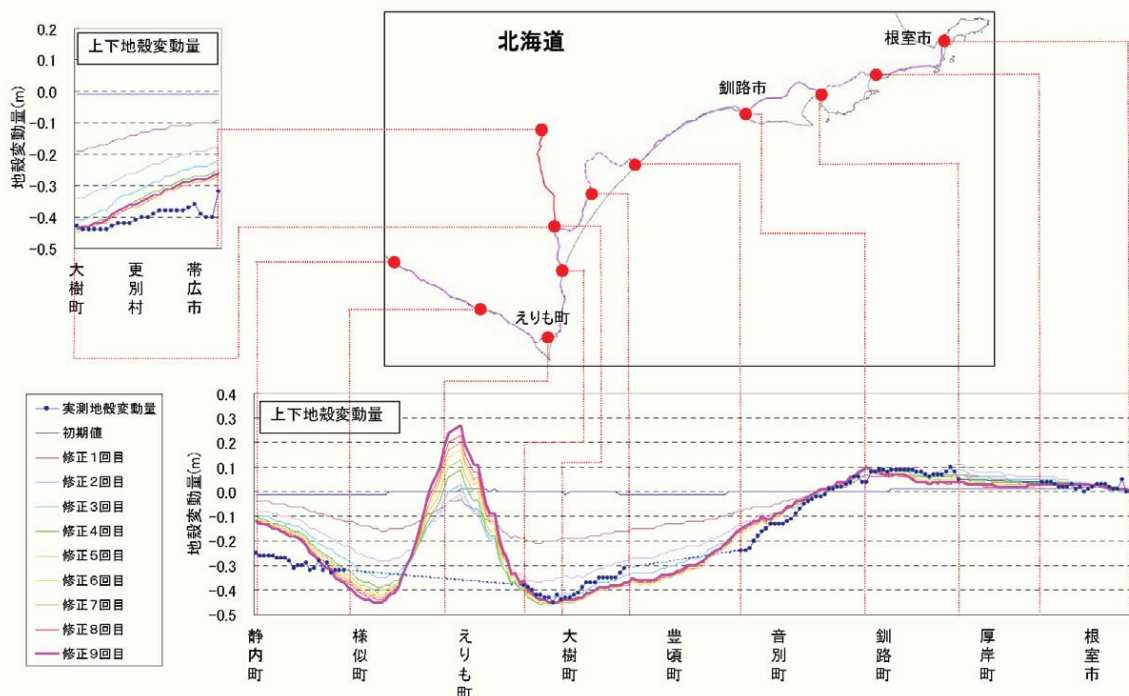
想定地震に関する検討(3)



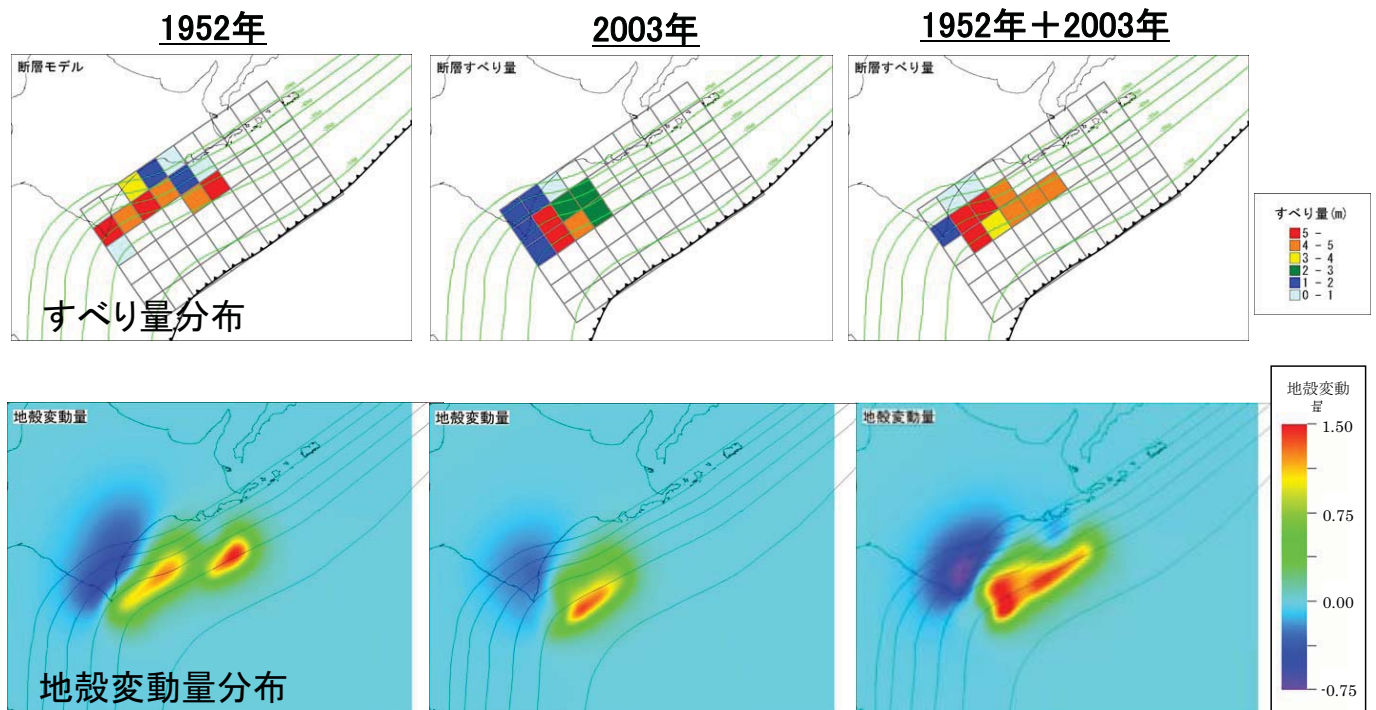
想定地震に関する検討(4)



想定地震に関する検討(5)

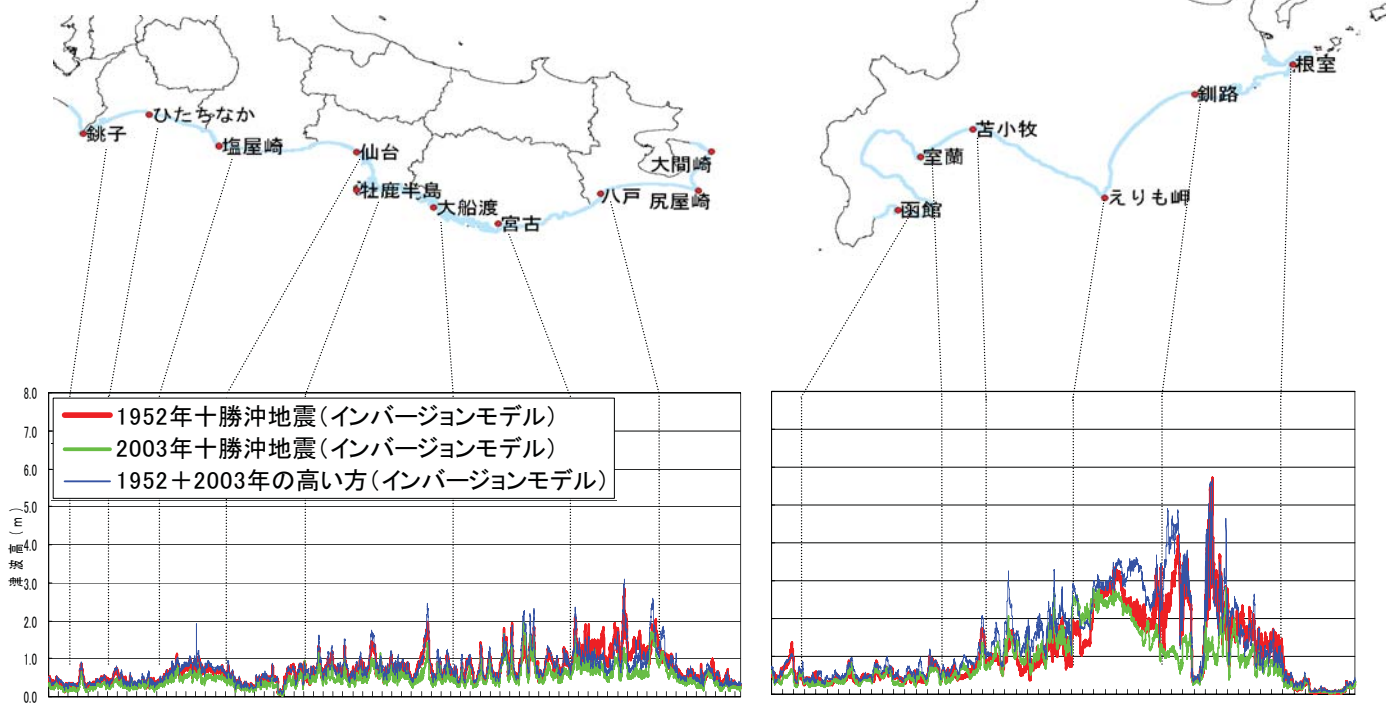


想定地震に関する検討(6)



想定地震に関する検討(7)

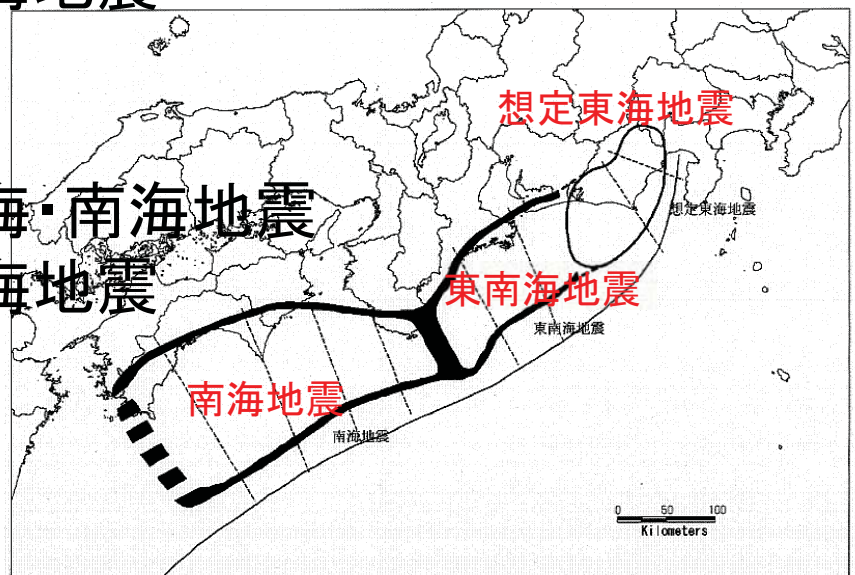
(1952年、2003年、1952年+2003年の高い方) (満潮位)



東南海、南海地震 想定地震と断層モデル

■想定地震:以下の5地震

- ①東南海・南海地震
- ②東南海地震
- ③南海地震
- ④東海・東南海・南海地震
- ⑤東海・東南海地震



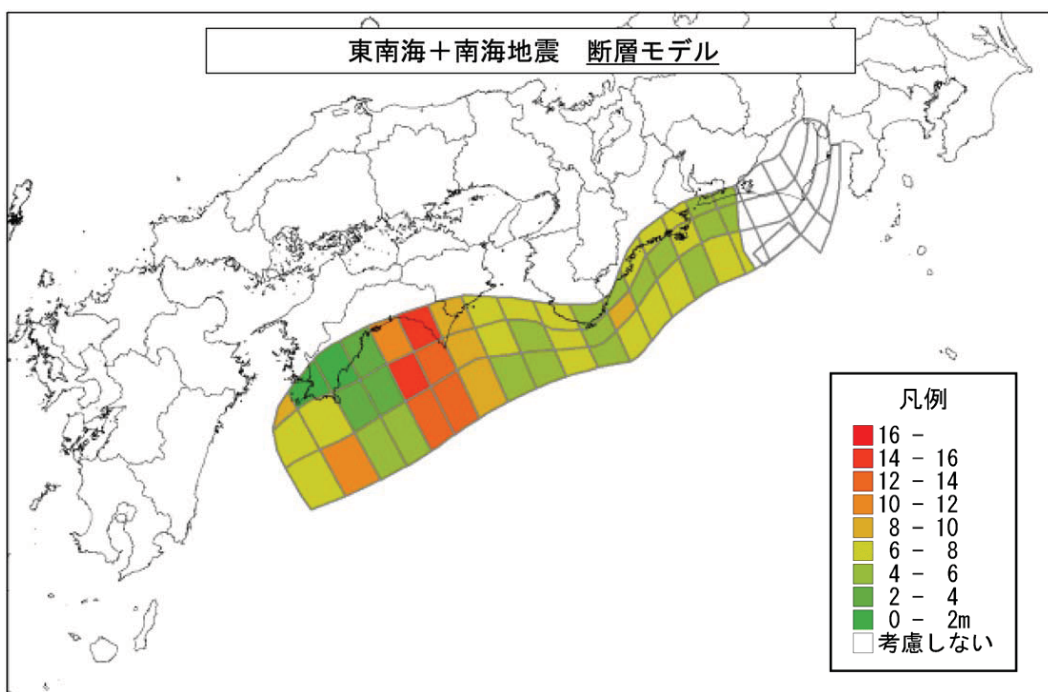
想定震源域とセグメントの概念図

東南海、南海地震 想定地震と断層モデル

- 断層モデル設定の考え方：
既往津波(1707宝永、1854安政地震など)
の最大津波高を再現するように設定
- 設定方法
 - ① 波源全体を概ね50km程度でセグメント化
 - ② 既往の最大津波高を再現するように、
非線形最小二乗法を用いて各セグメント
のすべり量を与える。
 - ③ 東海部分は「想定震源域+ABD」とする

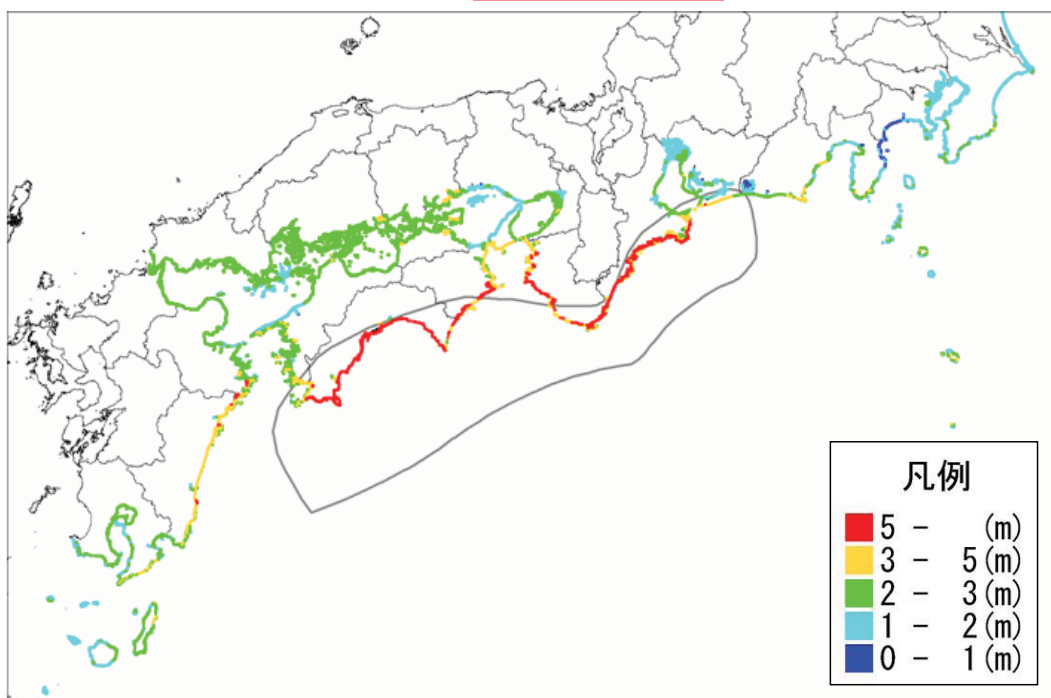
東南海、南海地震 想定地震と断層モデル

東南海・南海地震 [Mw=8.7]



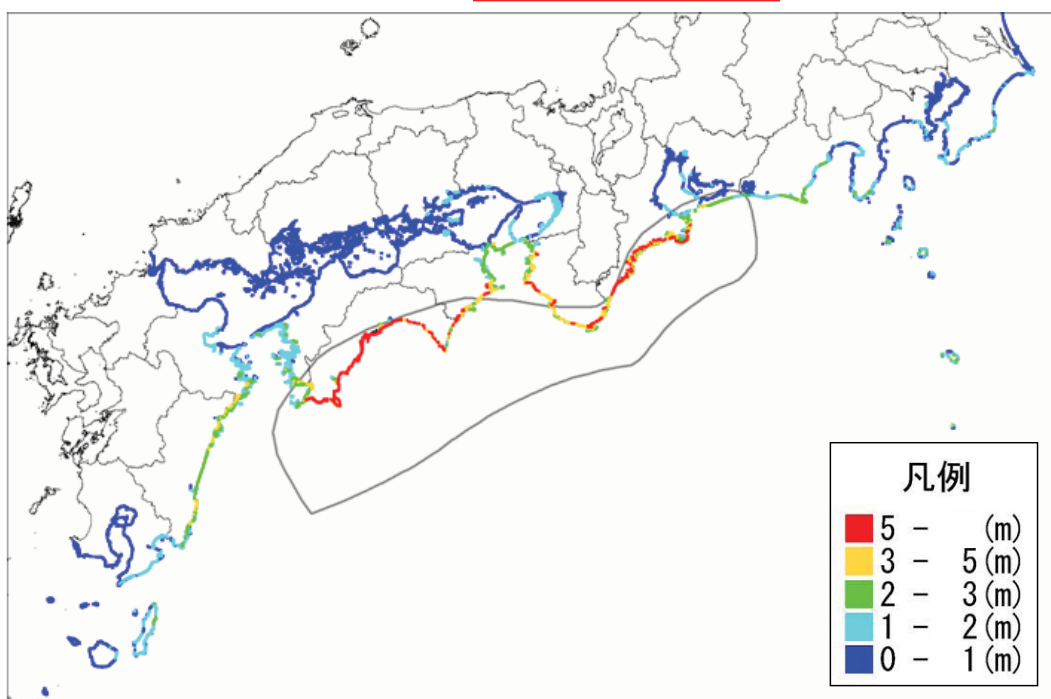
東南海、南海地震 津波の高さ

① 東南海・南海地震(満潮位)



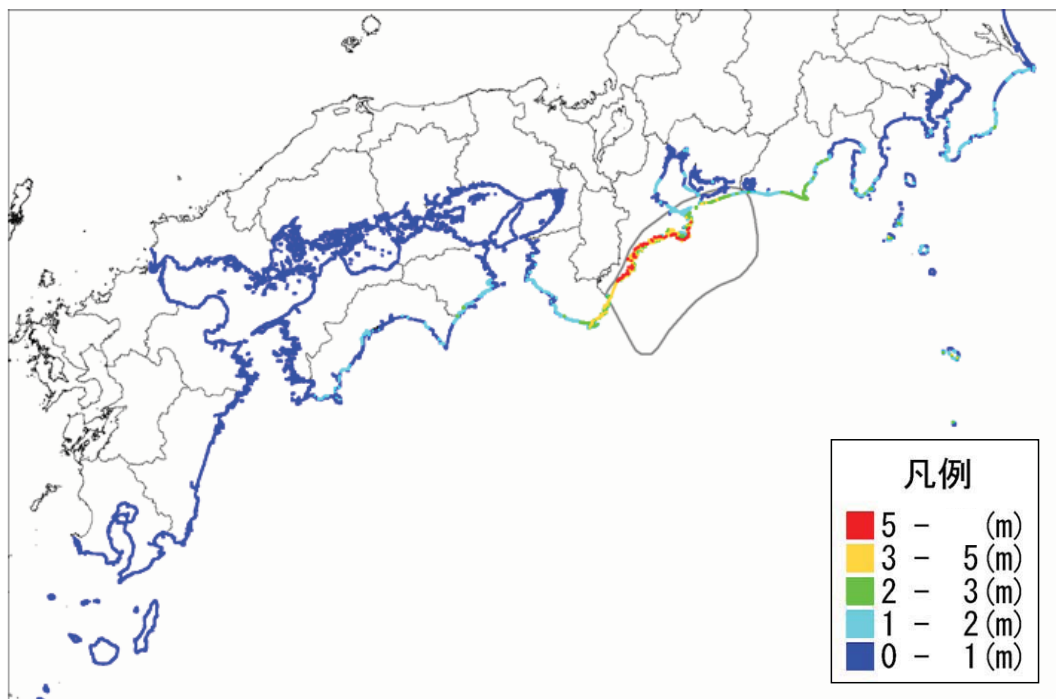
東南海、南海地震 津波の高さ

① 東南海・南海地震(平均潮位)



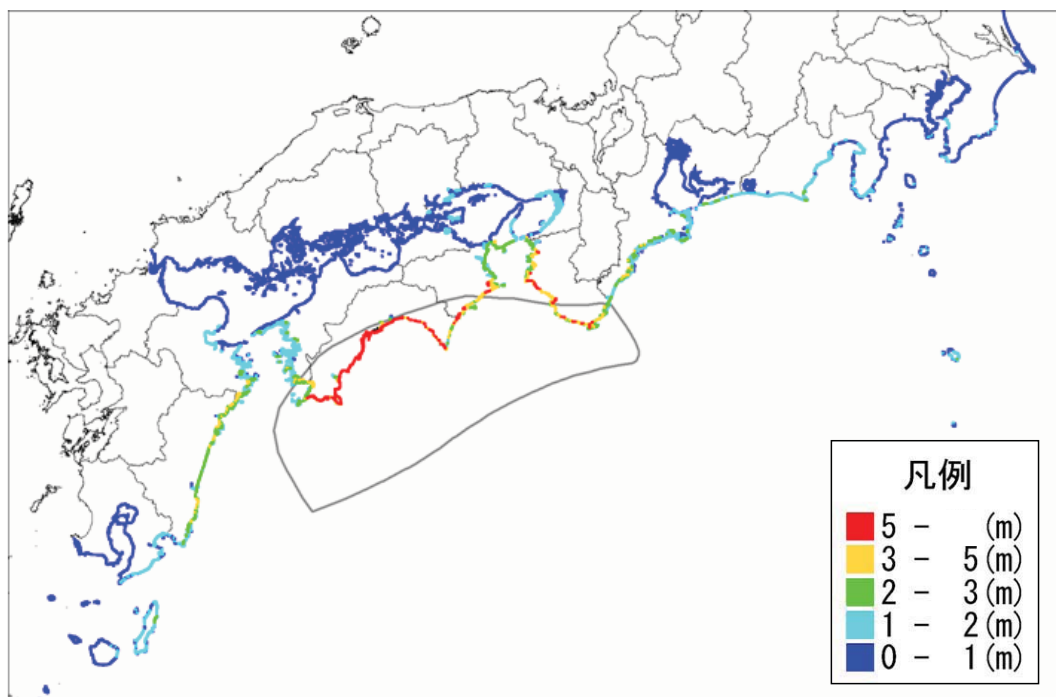
東南海、南海地震 津波の高さ

②東南海地震(平均潮位)



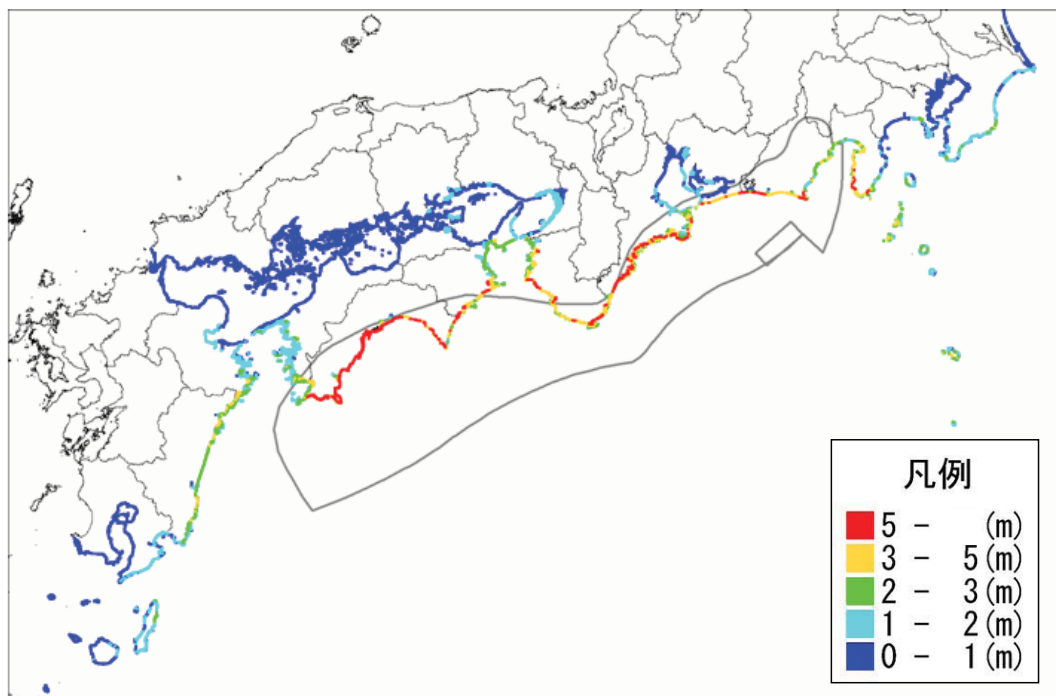
東南海、南海地震 津波の高さ

③南海地震(平均潮位)



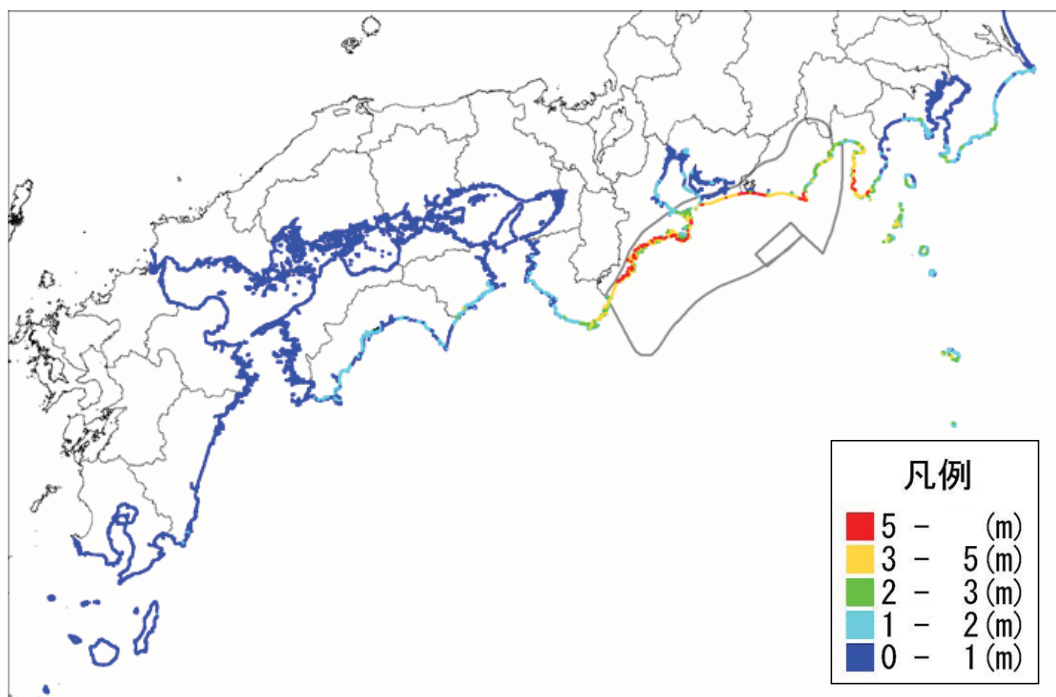
東南海、南海地震 津波の高さ

④東海・東南海・南海地震(平均潮位)

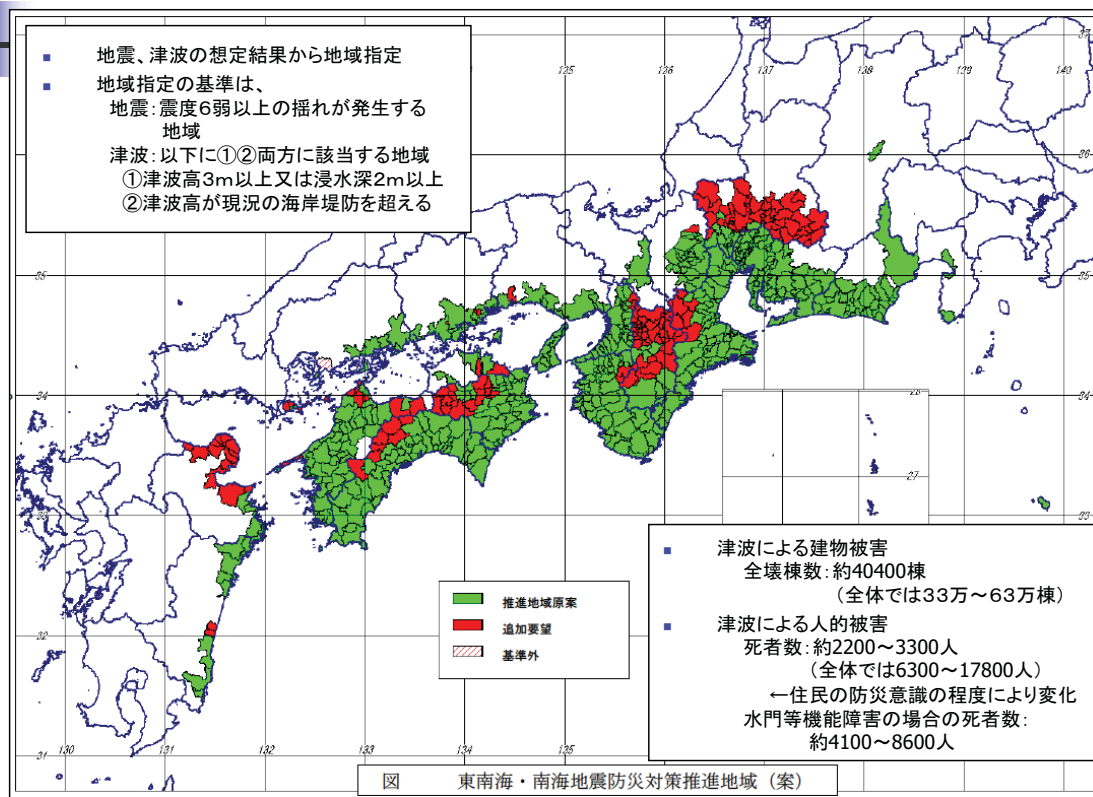


東南海、南海地震 津波の高さ

⑤東海・東南海地震(平均潮位)



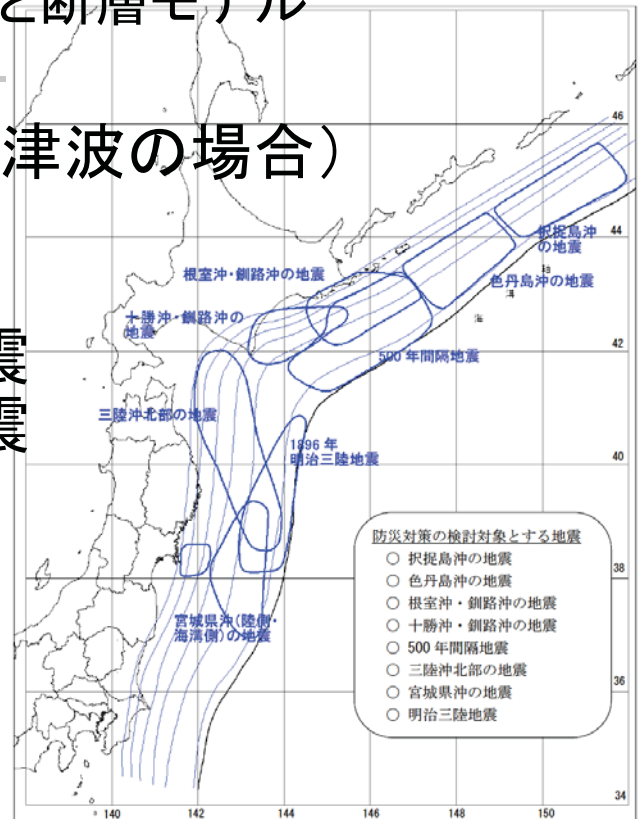
東南海、南海地震 推進地域



日本海溝 想定地震と断層モデル

■ 想定地震: 以下の8地震(津波の場合)

- ① 択捉島沖の地震
- ② 色丹島沖の地震
- ③ 根室沖・釧路沖の地震
- ④ 十勝沖・釧路沖の地震
- ⑤ 500年間隔地震
- ⑥ 三陸沖北部の地震
- ⑦ 宮城県沖の地震
- ⑧ 明治三陸タイプ地震



日本海溝 想定地震と断層モデル

■ 断層モデル設定の考え方:

1. 択捉島沖、色丹島沖

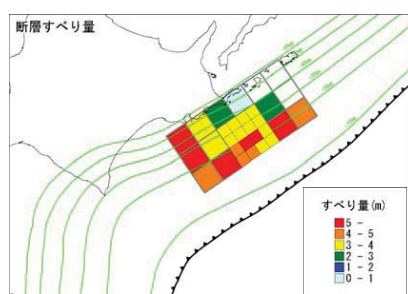
→既往津波の資料が十分に無いため、
地震動と同じモデルとする

2. 択捉島沖、色丹島沖以外

→既往津波の最大津波高を再現するよう
に設定(手法は「東南海、南海」と基本的
に同様)

日本海溝 想定地震と断層モデル

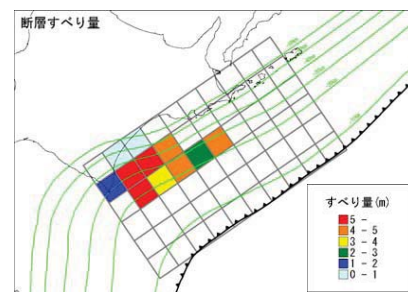
③根室沖・釧路沖の地震 [Mw=8.3]



津波高等を参照した地震

- ・1894年根室沖地震、
- ・1973年根室半島沖地震

④十勝沖・釧路沖の地震 [Mw=8.2]

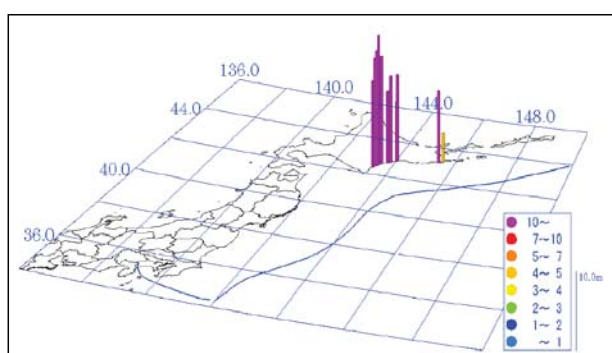
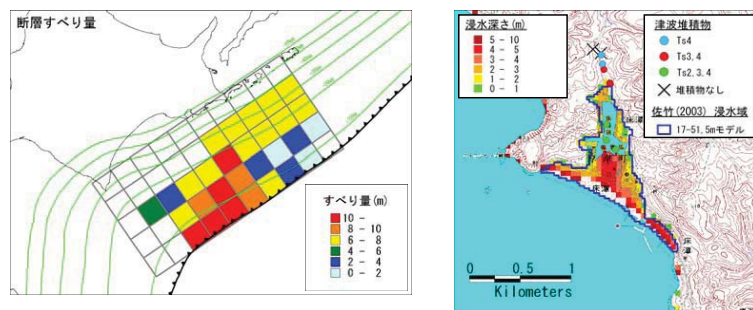


津波高等を参照した地震

- ・1952年十勝沖地震、
- ・2003年十勝沖地震

日本海溝 想定地震と断層モデル

⑤500年間隔地震 [Mw=8.6]



津波高等を参照した地震

・17世紀初頭の巨大津波

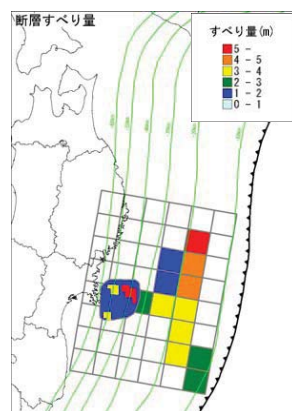
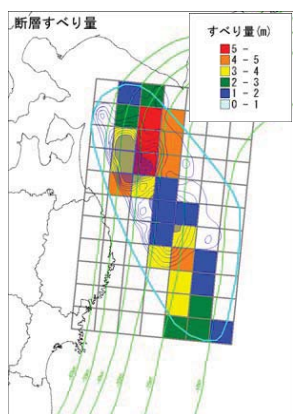
発生時期

十勝地域の津波	根室地域の津波	
発生時期	再來間隔	発生時期
(cal.B.P.)	(年)	(cal.B.P.)
津波1	17世紀初頭	津波1
津波2	400~500	津波2
津波3	300~400	津波3
津波4	500	津波4
1630~4世紀?	(300+)	?
		津波5
津波5	(500+)	1930+
AD/BC?		津波6
		?
津波6	2440+	津波7, 8
2590-		津波9
津波7	300+	津波10
2870~2920		津波11
津波8	400+	3340+
3220~3460		津波12
津波9	400	3830+
3690~3720		津波13
津波10	500+	4300+
4200+		津波14
津波11	300~350	4700+
4580-		津波15
津波12	300	4930+
4860+		津波16
津波13	100	4980+
5000-		津波17
津波14	>600	?
5640+		津波18
津波15	600	
6370-		

日本海溝 想定地震と断層モデル

⑥三陸沖北部の地震 ⑦宮城県沖の地震

[Mw=8.4] [Mw=8.2]



津波高等を参照した地震

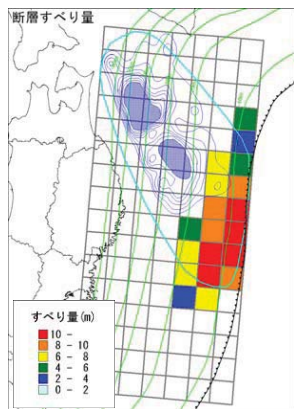
・1856年安政三陸沖地震、
・1968年十勝沖地震

津波高等を参照した地震

・1793年宮城県沖地震、
・1978年宮城県沖地震

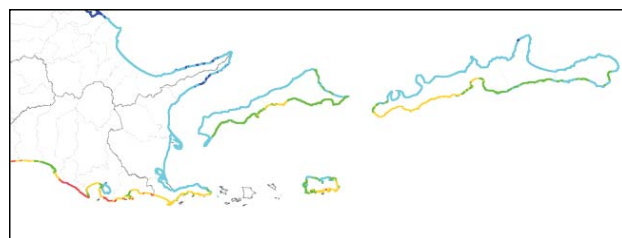
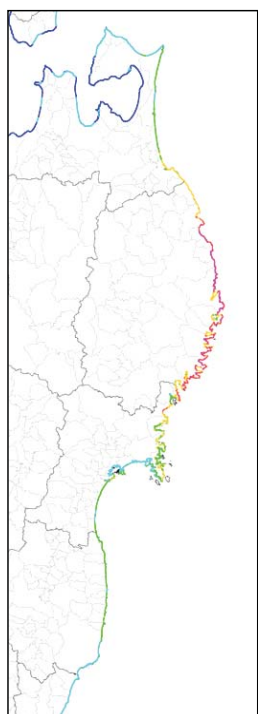
日本海溝 想定地震と断層モデル

⑧明治三陸タイプ地震 [Mw=8.6]

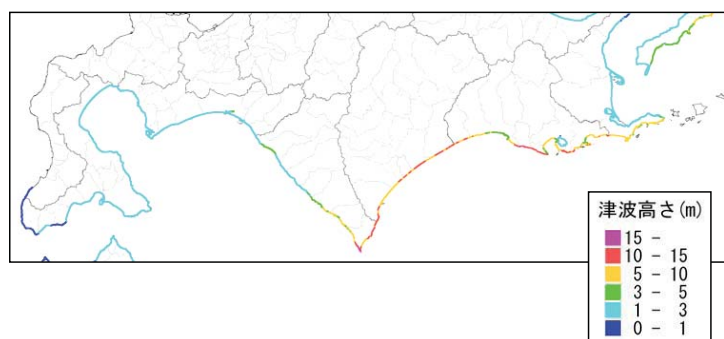


津波高等を参照した地震
・1896年明治三陸地震

日本海溝 津波の高さの最大値(1)

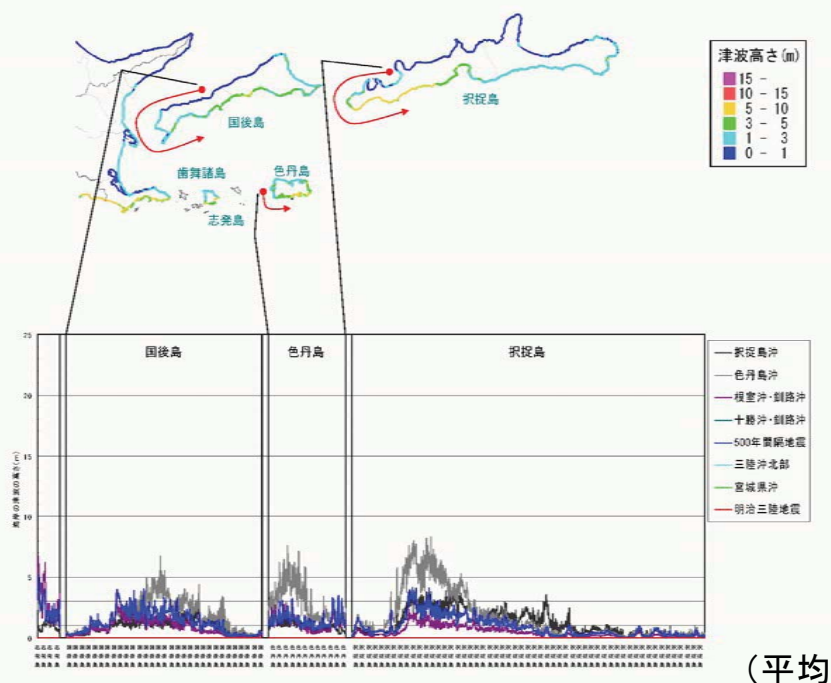


(満潮位)



日本海溝 津波の高さの最大値(2)

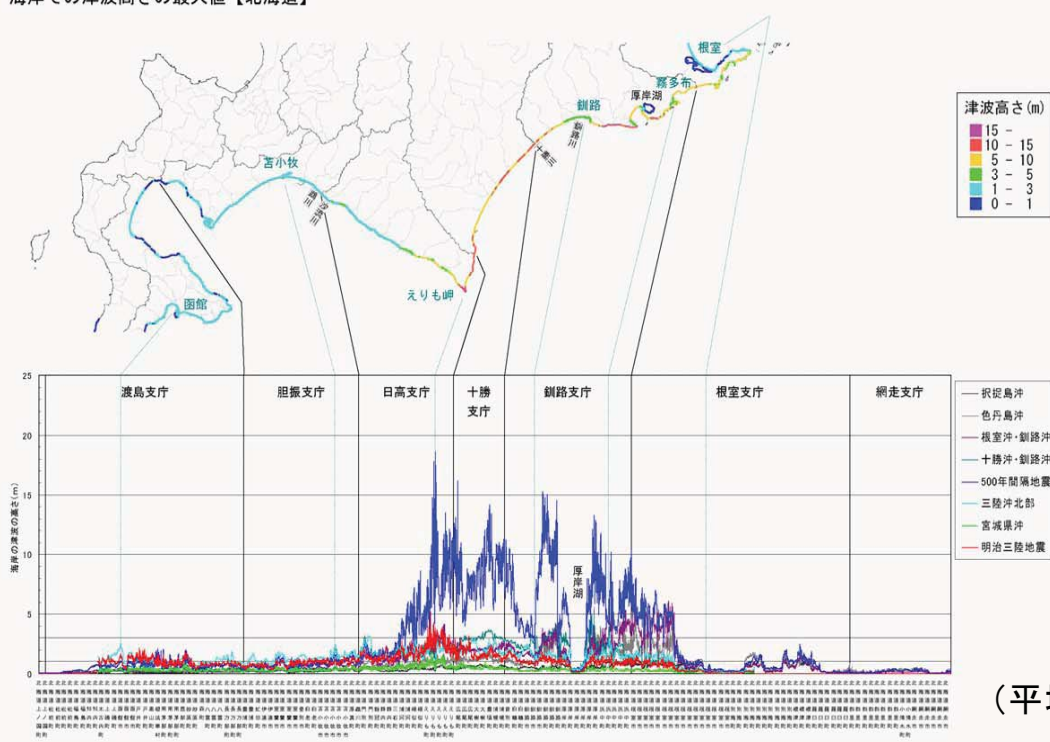
海岸での津波高さの最大値【北海道（北方四島）】



(平均潮位)

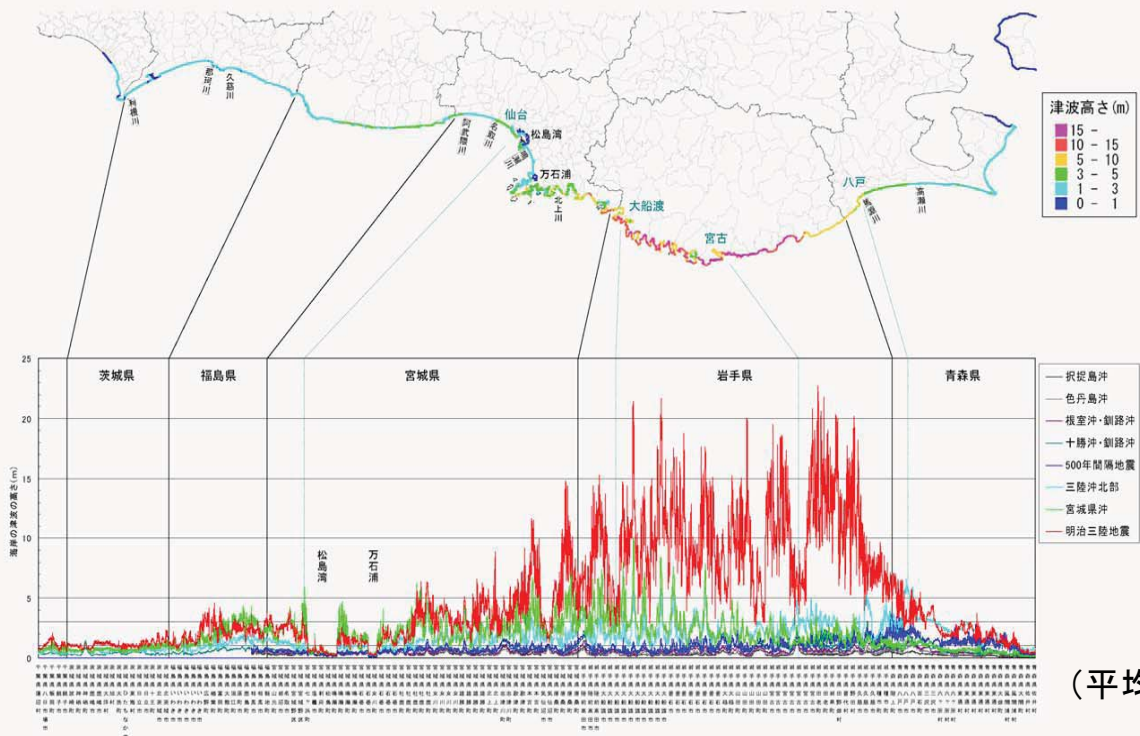
日本海溝 津波の高さの最大値(3)

海岸での津波高さの最大値【北海道】



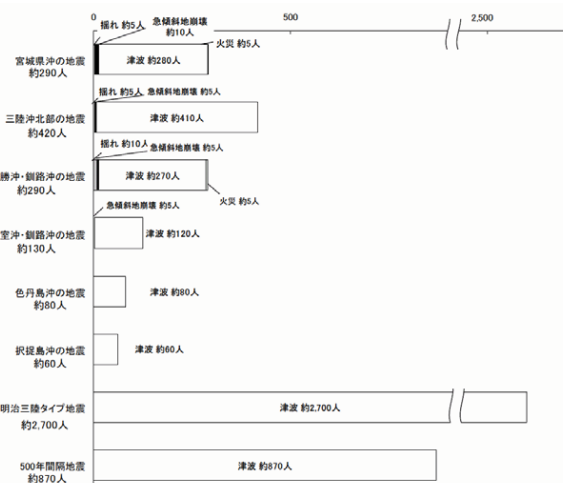
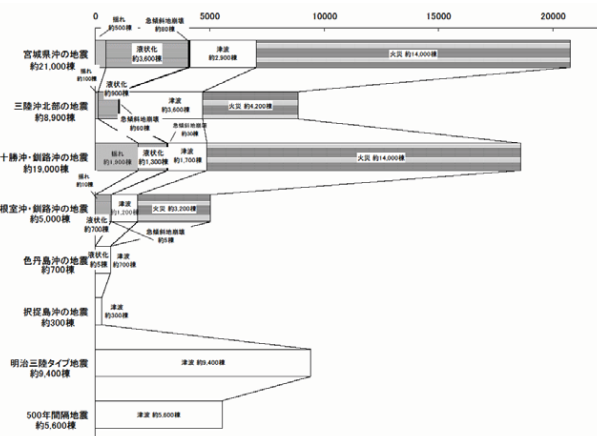
日本海溝 津波の高さの最大値(4)

海岸での津波高さの最大値【青森～千葉】



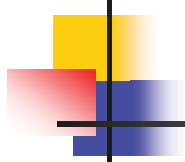
日本海溝 推進地域+被害予測

- 地震、津波の想定結果から地域指定
- 地域指定の基準は、
地震:震度6弱以上の揺れが発生する
地域
- 津波:以下に①②両方に該当する地域
①津波高3m以上又は浸水深2m以上
(ただし、DID・港湾地区は1.2m)
②津波高が現況の海岸堤防を超える



津波による建物被害

津波による人的被害



2. リモセン技術の利用

1. 基礎データの抽出 → 数値計算予測精度の向上
 - ・地盤標高
 - ・土地利用
 - ・堤防構造物
2. 津波浸水被害範囲の抽出 → 津波波源の検討
 - ・津波遡上高
3. 地震時の上下地殻変動量 → 津波波源の検討
4. 家屋・道路分布の抽出 → 被害想定

リモートセンシングの防災利用に関連した 最近の取り組みについて

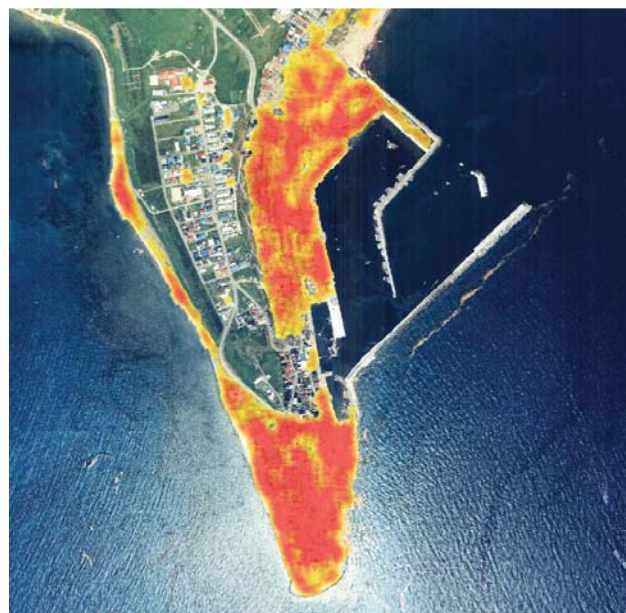
平成21年 10月 29日

アジア航測株式会社
三富 創

建物被害抽出の事例

1993年北海道南西沖地震(奥尻島・青苗地区)／航空写真

- ◆日本海側で発生した地震の中で最大級(M7.8)。
- ◆震動・火災・津波により、人口4,000人足らずの奥尻島は壊滅的被害を被った。
(死者172名、行方不明26名、重軽傷者143名)。



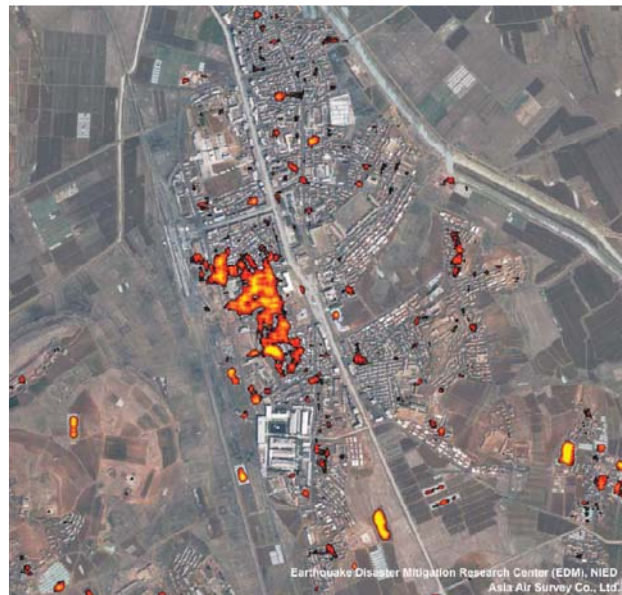
建物被害抽出の事例

2004年北朝鮮列車爆発事故／衛星画像QuickBird

◆北朝鮮北部の竜川駅付近で爆発があり、
少なくとも161人死亡、1,300人重軽傷

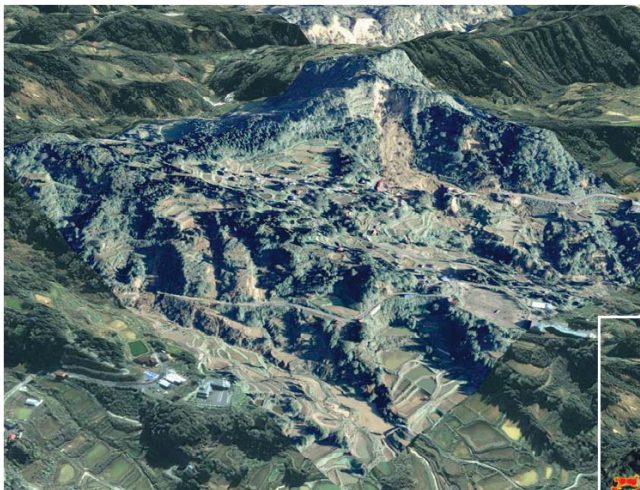
※発生：2004年 4月22日

※取得：2004年 4月27日



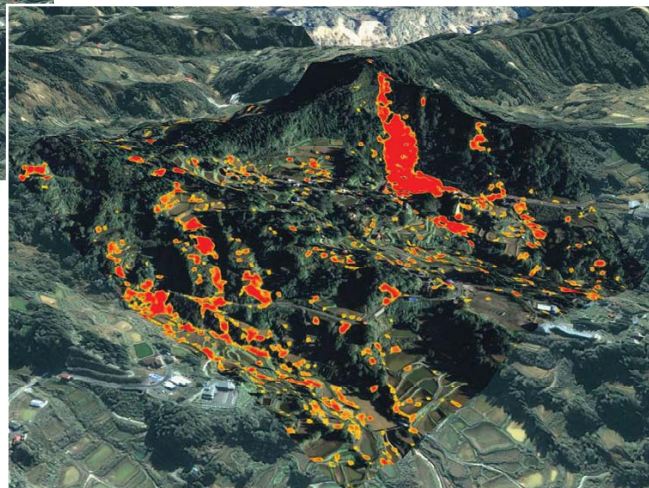
建物被害抽出の事例

2004年新潟県中越地震／デジタル航空写真・航空レーザ計測



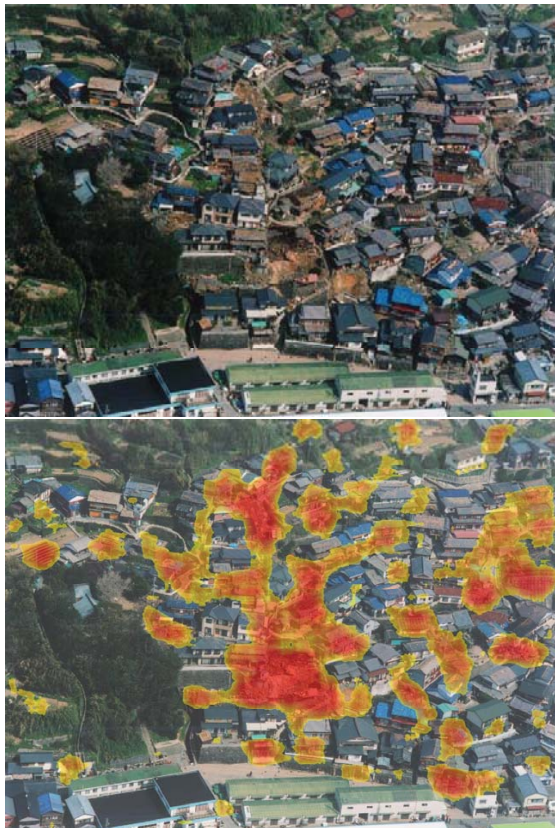
周辺の背景は衛星画像IKONOS
被害抽出範囲はデジタル航空写真

被害抽出結果を三次元化
(高さデータは航空レーザ計測による)



建物被害抽出の事例

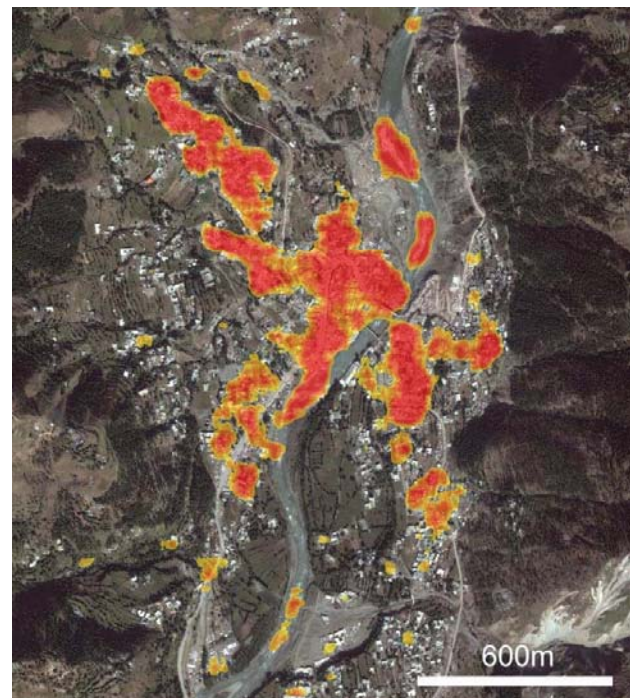
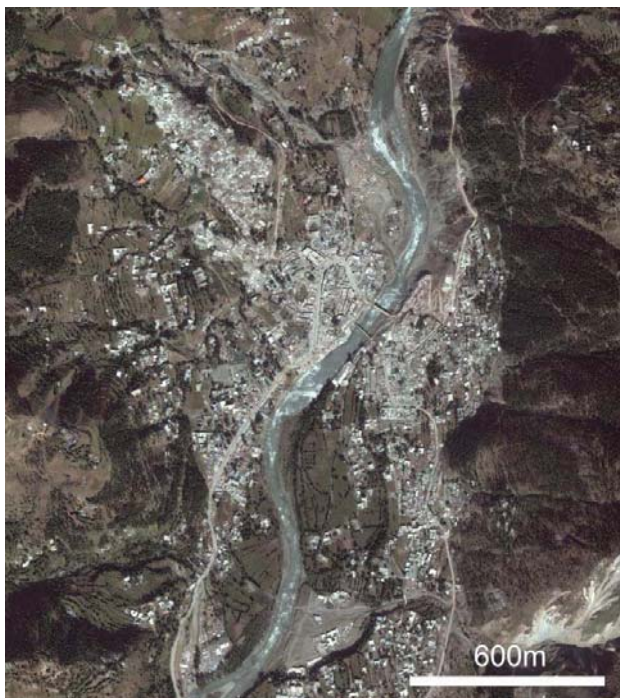
2005年福岡県西方沖地震(玄界島)／航空写真・斜め撮影写真



建物被害抽出の事例

2005年パキスタン・カシミール地震／衛星画像QuickBird

◆死者7万3千人以上、被害者250万人(パキスタン政府発表・地震の約1ヵ月後)



画像処理による建物被害地域の抽出手法

空撮画像

ヘリコプター斜め撮影画像(NHK)

地震の10日後撮影

画像上部:約17cm/pixel

画像下部:約10cm/pixel



画像処理による建物被害地域の抽出手法

抽出指標の作成

輪郭(エッジ)を抽出して輪郭の特徴を分析



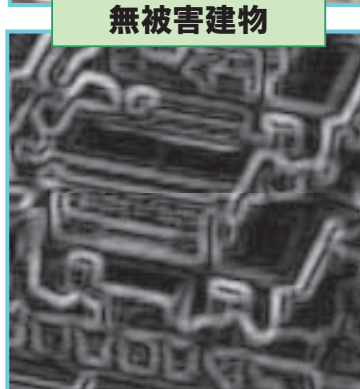
瓦 磕



無被害建物



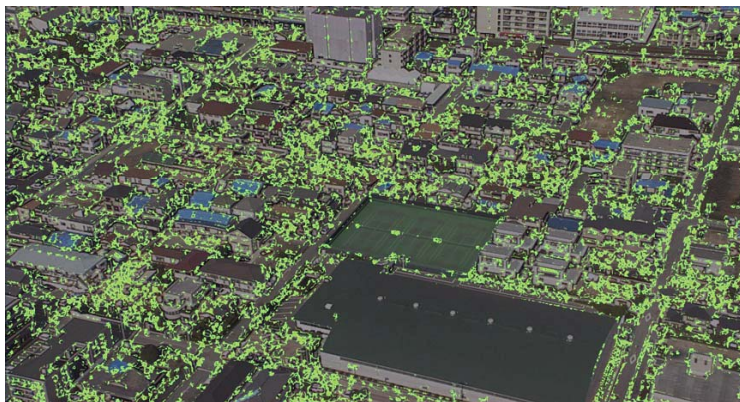
グラウンド



画像処理による建物被害地域の抽出手法

画素の抽出

4つのしきい値を同時に満たす画素の抽出



空撮画像

抽出指標の作成

画素の抽出

建物被害地域の推定

- ① エッジ強度の分散(7×7画素領域)
- ② エッジ方向の最頻度(7×7画素領域)
- ③ 角2次モーメント(7×7画素領域)
- ④ エントロピー(7×7画素領域)

2.0～6.8 ($\times 10^5$)

0.30～0.60

0.74～6.6 ($\times 10^{-2}$)

3.4～4.2

画像処理による建物被害地域の抽出手法

建物被害地域の推定

領域内に含まれる画素の割合 Rpx 値を計算

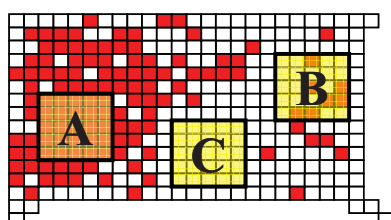


空撮画像

抽出指標の作成

画素の抽出

建物被害地域の推定



領域A: 100%
領域B: 24%
領域C: 0%

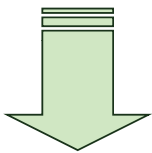
遠方:
31×31画素
画像の手前と遠くで
建物の大きさが異なる
ためウインドウサイ
ズを変化させる

手前:
63×63 画素



本研究の目的

1995年兵庫県南部地震の瓦礫から特徴づけた『輪郭情報』4指標で
建物焼失・倒壊に起因する瓦礫の抽出が可能



- 空撮ビデオカメラ映像 (NTSC, HDTV)
- 航空写真 (垂直, 斜め)
- 高空間分解能衛星画像 (IKONOS, QuickBird)

この処理手法を実装していくためには
現行手法の適用範囲を明らかにしておく必要がある

地上解像度

- ① 画像の解像度変化にともなう抽出指標と
抽出指標の『しきい値』の汎用性検証

※地上解像度10cm～100cmを10cm刻み

Rpx値・計算領域

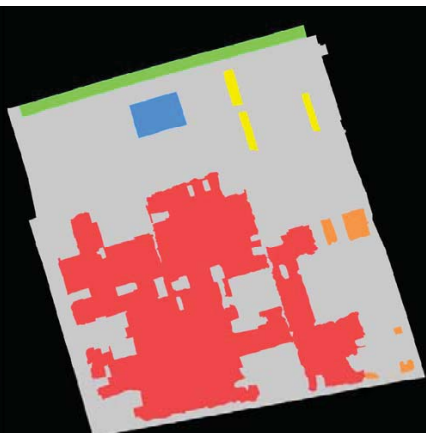
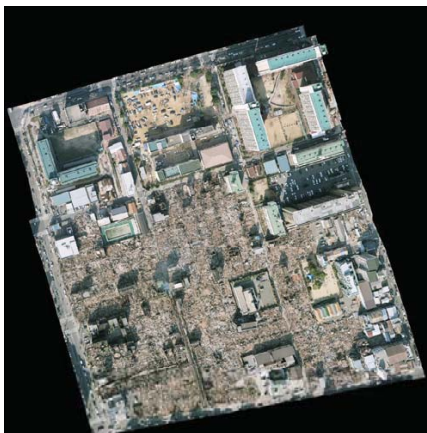
- ② Rpx値の計算領域と『しきい値』の設定方法

※31×31画素～101×101画素を10画素刻み

抽出精度

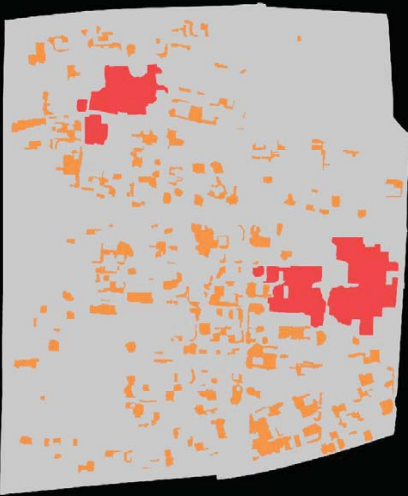
- ③ 定量的な被害抽出精度の評価

※画素単位の抽出率, 正答率 Rcor, 街区単位



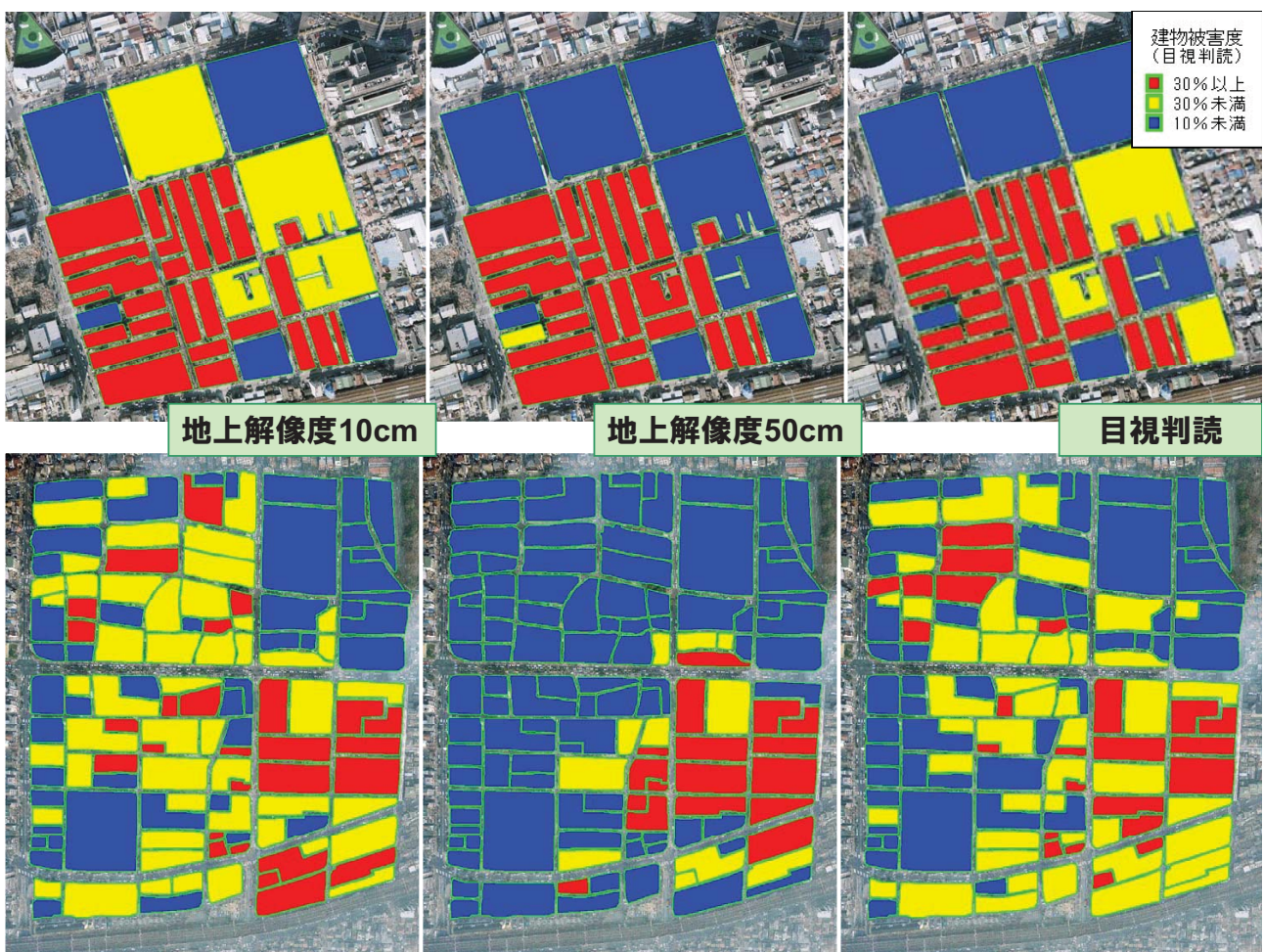
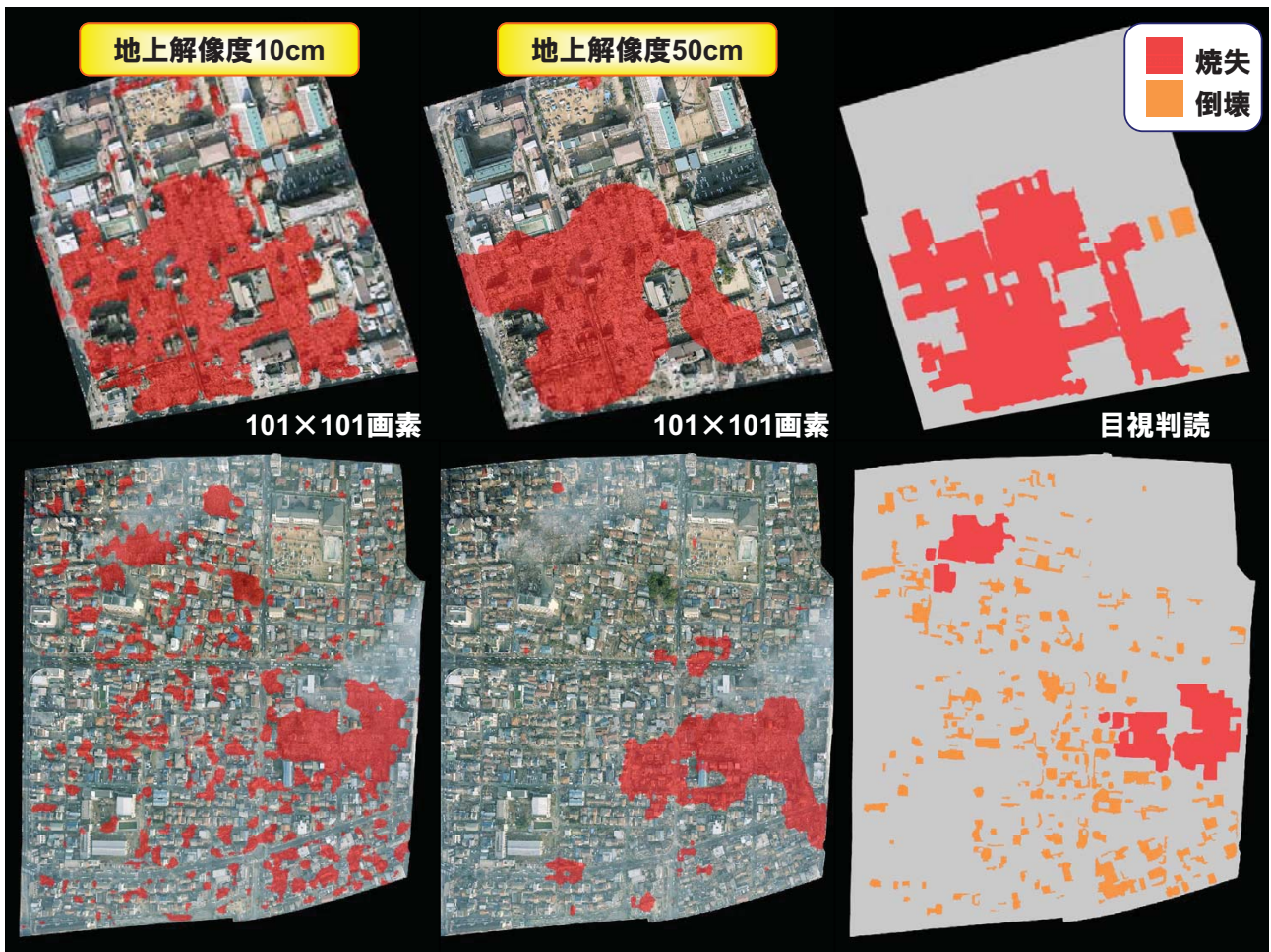
エリアA（1月20日撮影）

- A1 火災による延焼で建物が焼失した地域
- A2 震動による建物倒壊（瓦礫発生）地域
- A3 マンション側面のバルコニー等
- A4 道路（車両や道路付属物を含む）
- A5 学校グラウンド（車両や人等を含む）



エリアB（1月18日撮影）

- B1 火災による延焼で建物が焼失した地域
- B2 震動による建物倒壊（瓦礫発生）地域



結論（現行手法の適用範囲）

画像の種類	地上解像度	w31 w41	w51 w61 w71	w81 w91 w101
デジタル航空写真 空撮ヘリ映像（HDTV）	10cm	×	◇	◎
航空写真 低高度空撮ヘリ映像	30cm	×	○	○
航空写真 空撮ヘリ映像（NTSC）	50cm	×	○	○
高空間分解能衛星画像 (パンシャープン)	80cm	×	△	○

- ◎： 建物1棟単位の被害まで抽出可能である
- ◇： 建物1棟単位の被害まで抽出できる可能性がある
- ： 広域的な被害のみ抽出可能である
- △： 広域的な被害のみ抽出できる可能性がある
- ×： 被害抽出は困難である

今後の課題

◆GISデータ(街区・町丁目等)との重ねあわせによる被害抽出結果の表現方法

◆広域画像への適用に際して考慮すべき事項

- ※ 火災の煙等の影響を取り除く手法
- ※ 樹木が繁茂した状態を取り除く手法

◆処理時間の短縮化

- ※ 地上解像度50cmの画像でも建物1棟単位の倒壊建物が抽出できる画像処理手法の検討